УДК 538.915, 544.723.5

Оригинальная статья

Адсорбция Au на W(100): расчет

Ю.А. Кузнецов, М.Н. Лапушкин

ФГБУН «Физико-технический институт им. А.Ф. Иоффе Российской академии наук» 194021, Россия, Санкт-Петербург, Политехническая ул., 26 lapushkin@ms.ioffe.ru

DOI: 10.26456/pcascnn/2024.16.501

Аннотация: Методом функционала плотности проведен расчет адсорбции атомов золота на поверхности грани (100) вольфрама. В качестве подложки вольфрама была использовался 2D-слой атомов W. 2D-слой W моделировался суперъячейкой W(100) $2\times2\times2$. Расчет проводился для трех мест адсорбции атома Au на поверхности W(100): в ямочной позиции, в мостиковой позиции между поверхностными атомами W и над поверхностным атомом W. Один атом Au приходился на B поверхностных атомов B. Наиболее предпочтительно адсорбция атома B0 в мостиковой позиции. Энергия адсорбции равна B1 в B2. Адсорбция атомов B3 приводит к следующей реконструкции поверхности B4 сдвиг атомов B5 в плоскости поверхности не превышает B6. Валентная зона B7 слоя B8 плоскости поверхности не превышает B9 в плоскости поверхности B9 в плоскости поверхности B9 в плоскости поверхности не превышает B9. Валентная зона B9 слоя B9 объема B9 в плоскости поверхности изменению спектра валентной зоны поверхностного слоя B9.

Ключевые слова: электронная структура, адсорбция, интерфейс, золото, вольфрам.

1. Введение

к исследованиям Интерес поверхности Auвызван ростом исследований в области химии Au [1], с исследованиями свойств и применения наночастиц Аи [2] и применением в микроэлектронике [3]. что Au — это недешевый материал, поэтому выгодно Известно, использовать тонкие пленки Аи на поверхности различных подложек. инициирована более ранними исследованиями, исследованиями формирования интерметаллических соединений золотощелочной металл при напылении атомов щелочных металлов поверхность 2D-слоя Au напыленного на W(100) [4-5].

В [6] методом термодесорбционной спектроскопии (TDS – thermal desorption spectroscopy) исследована адсорбция атомов Au на поверхности W(100) в широком диапазоне покрытий Au. Было показано, что в спектре термодесорбции наблюдается два пика: высокоэнергетический, который формированием домонослойного покрытия связан И низкоэнергетический, который связан с формированием пленки Энергия десорбции уменьшается с ростом покрытия золота: от 5,5 эВ для одиночной адсорбции до 3,90 эВ для монослойного (ML – monolayer) покрытия (θ) . Также методом TDS исследована адсорбция атомов Au на поверхности W(100) в широком диапазоне θ и получены похожие результаты [7,8]. Энергия десорбции при дозе напыления Аи 3,5 ML составляет 4,0 эВ. В [9] показано, что монослой Аи соответствует величине $1\cdot10^{15}$ ат./см². Адсорбция Au на W(100) происходит по механизму Фольмера — Вебера. В [10] показано, что при θ <1 ML слой Au растет эпитаксиально на W(100). При θ =1 ML Au регистрируется структура р(1×1), что сопровождается реконструкцией поверхности W(100). В [11] в рамках теории функционала плотности (DFT — density functional theory) проведен расчет электронной плотности для двух покрытий (0,25 и 1,0 ML) Au на W(110). Было показано, что предпочтительна адсорбция в ямочной (hcp-hollow) позиции и энергия адсорбции (E_{ads}) равна 3,48 эВ при покрытии 0,25 ML, а при покрытии 1,0 монослоя E_{ads} =3,54 эВ. Нам неизвестны расчеты адсорбция атомов Au на поверхности W(100).

Целью данной работы было рассчитать электронную структуру адсорбированного Au на поверхности 2D-слоя W(100) и энергию связи атомов Au, что позволит определить предпочтительные места адсорбции атомов Au на поверхности W. Результаты работы позволят лучше понять процессы начальной стадии формирования 2D-слоя золота на поверхности вольфрама.

2. Методический раздел

Наши расчеты из первых принципов выполняются в реализованной в пакете QUANTUM ESPRESSO [12] с использованием обменно-корреляционного функционала учетом обобшенных c градиентных приближений (CGA – common gradient approximations) [13] в форме Perdew-Burke-Ernzerhof (PBE) [14]. Влияние ионных остовов учитывалось через сохраняющий норму псевдопотенциал Суперъячейка (100) $2\times2\times2$ была изготовлена использованием графической программы с открытым исходным кодом BURAI-1.3 [16]. Вакуумный зазор между 2*D*-слоями был 18 Å, чтобы избежать влияния паразитных электрических полей. Ограничение кинетической энергии и ограничение плотности заряда были выбраны 50 Ry и 480 Ry. Использована гамма-центрированная сетка по k-точкам $4\times4\times1$ для всех 2D систем в этой статье. Сходимость составила $1 \cdot 10^{-6}$ Ry.

W имеет кубическую структуру с постоянной решетки 3,19 Å. Один атом Au приходится на 8 поверхностных атомов вольфрама. Суперъячейка состоит из трех 2D-слоев вольфрама. Релаксации подвергались все атомы суперъячейки вольфрама. В случае адсорбции атомов Au на релаксированной поверхности W релаксации подвергались только атомы поверхностного слоя (см. рис. 1, выделены синим). Положение остальных атомов W суперъячейки было зафиксировано, что было сделано для моделирования объема вольфрама. Стадия релаксации параметров ячейки суперъячейки длится до достижения давления менее 0,5 кбар. Перенос

заряда рассчитан по методу Бадера [16].

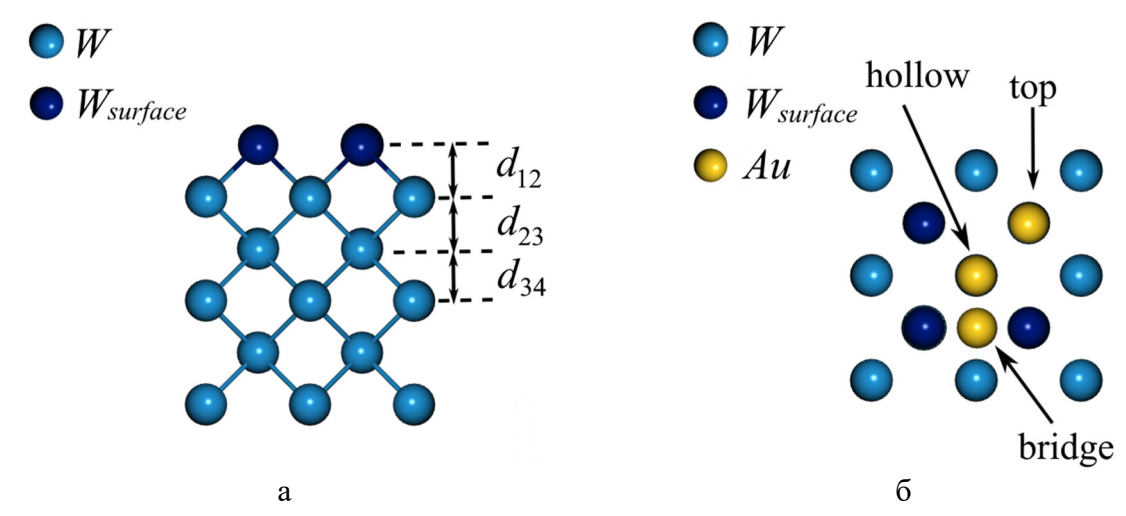


Рис. 1. 2D-слой W: вид сбоку (а). Положение адатомов Au на 2D-слое W: вид сверху (б). Синий шар — атом W, тёмно-синий шар — поверхностный атом W, желтый шар — атом Au. $W_{surface}$ — поверхностные атомы W. Поверхностный слой атомов имеет индекс — 1. d_{12} , d_{23} и d_{34} — соответственно расстояние между первым и вторым слоем, вторым и третьим слоем и третьим и четвертым слоями. Положение атомов Au на поверхности W в трех позициях: ямочной (hollow), мостиковой (bridge) и над поверхностным атомом вольфрама (top).

3. Результаты и обсуждение

Для чистой поверхности релаксированного 2D-слоя W(100) была рассчитана релаксация поверхности относительно нерелаксированного 2D-слоя W(100). Величину релаксации можно определить по следующей формуле:

$$\Delta_{ii} = (d_{ii} - d_{0ii}) / d_{0ii}, \tag{1}$$

где Δ_{ij} — относительное изменение расстояния между i-тым и j-тым слоями для релаксированной и нерелаксированной поверхности. d_{0ij} — расстояние между между i-тым и j-тым слоем атомов для нерелаксированной поверхности и d_{ij} — расстояние между между i-тым и j-тым слоем атомов для релаксированной поверхности. Знак «—» означает уменьшение расстояния. Получены следующие значения: $\Delta_{12} = -0.081$, $\Delta_{23} = -0.039$ и $\Delta_{34} = -0.024$. В работе [17] были получены близкие значения.

Была рассчитана энергия адсорбции (E_{ads}) атомов Au на поверхности вольфрама в трех позициях: ямочной (hollow), мостиковой (bridge) и над поверхностным атомом вольфрама (top) по следующей формуле:

$$E_{ads} = -(E_{Au/W} - E_W - E_{Au}), (2)$$

где $E_{{\scriptscriptstyle Au/W}}$ и $E_{{\scriptscriptstyle W}}$ — полные энергии поверхности с адсорбированным ${\scriptscriptstyle Au}$ и без

него, E_{Au} — полная энергия атома Au. В Таблице 1 приведены расчетные значения энергии адсорбции атомов Au и расстояния между плоскостью, образованной центрами поверхностных атомов W, и положением адсорбированного атома Au приведены. Наиболее предпочтительной является адсорбция в мостиковой позиции. Отметим, что в ямочной позиции энергия адсорбции Au всего на 0,1 эВ меньше.

Таблица 1. Энергия адсорбции атома золота и расстояние между уровнем поверхностных атомов вольфрама и плоскостью адсорбированных атомов.

Позиции	E ad s , $ec{ m 9B}$	h, Å
bridge (мостиковая позиция)	4,18	2,04
hollow (ямочная позиция)	4,08	1,35
top (позиция над поверхностным атомом вольфрама)	2,91	2,51

В результате расчета получены большие значения E_{ads} атома Au на поверхности W. Полученное значение E_{ads} на 0,7 эВ больше значения E_{ads} , полученному в расчете для случая адсорбции Аи в ямочной позиции типа hcp на W(110) [11]. Проведенный расчет показывает, что адсорбция атомов Au на поверхности W(100) возможна в двух позициях: мостиковой и ямочной в отличии от адсорбция атомов Au на поверхности W(110), где предпочтительна ямочная позиция. Такое различие может при увеличения покрытия может приводить к различным механизма роста золотой пленки на W: послойному росту W(110) на и островковому на W(100). Постоянная решетки W равна 3,19 Å, а постоянная решетки Au равна 4,17 Å, что приводить при адсорбции к реконструкции поверхности. Наблюдается незначительная реконструкция поверхности W, вызванная адсорбцией атомов Au, в мостиковой позиции за счет взаимодействия электронных оболочек атомов адсорбата и адсорбента. Также для случая адсорбции атомов Аи, в мостиковой позиции на релаксированной поверхности 2D-слоя W была рассчитана релаксация поверхности относительно релаксированного 2D-слоя W(100). Получено следующие значение: $\Delta_{12} = -0.015$, что указывает на незначительность релаксации поверхности, вызванной адсорбцией атомов Au. Поверхностные атомы W, выделенные тёмно-синий цветом на рис. 1 б, сдвигаются вниз, и имеют сдвиг от атома Au на расстояние 0,22 Å по сравнению чистой поверхностью W, что и приводит к большому значению E_{ads} , за счет взаимодействия атома Au с двумя поверхностными атомами W.

Результаты расчета плотности состояний (DOS – density of states) чистой релаксированной поверхности 2D-слоя W на рис. 2. На рис. 2 а - 2 в представлена полная плотность состояний 2D-слоя W, а также

плотность состояний в поверхностном слое (см. рис. 1 а, выделены синими шарами) и приповерхностном слое. Валентная зона W сформирована W 5dсостояниями с примесью W 6s состояний. В ней можно выделить 4 пика с энергий при -0,5, 2,1, 3,1 и 4,3 эВ, что совпадает с результатами, например, [18]. Для поверхностного слоя (см. рис. 2 а) имеется валентная зона также положение которых четырьмя пиками, не сильно относительно DOS всего 2D-слоя W, но меняется их интенсивность. Эти состояния и являются поверхностными состояниями и поверхностными резонансами [21], которые должны принимать участие в формировании адсорбционных связей. Вид DOS валентной зоны для приповерхностного слоя близка к виду валентной зоны в объеме W. Результаты расчета совпадают с более ранними расчетами [17-19]. Поверхностные атомы Wимеют избыточную электронную плотность равную 0,11 е.

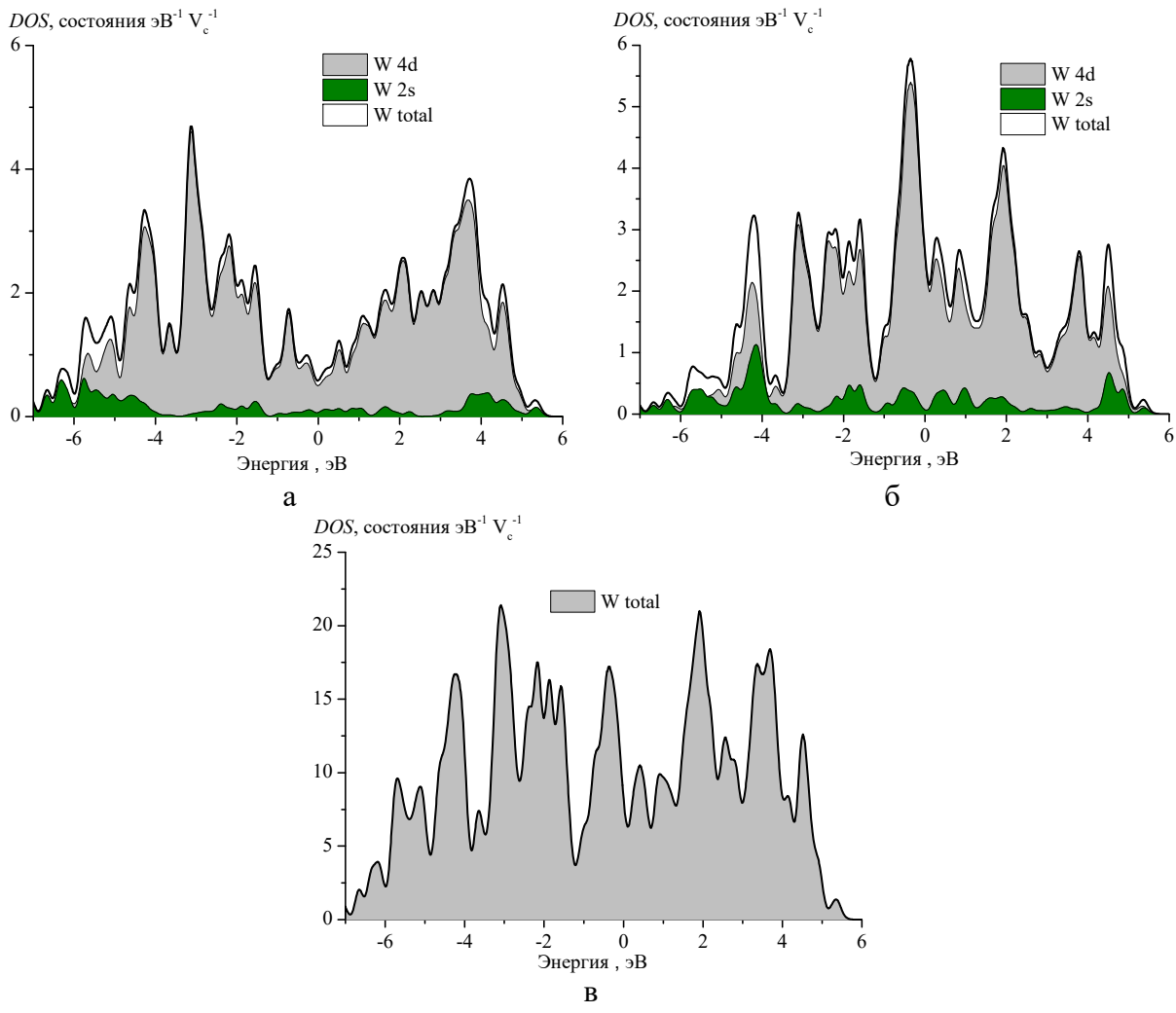


Рис. 2. Рассчитанная полная и парциальная плотность состояний 2D-слоя W. Полная плотность состояний (в), поверхностного слоя (а) и приповерхностного слоя (б). V_c объем элементарной ячейки. Уровень Ферми соответствует 0 эВ.

Адсорбция Au приводит к существенным изменениям спектра валентной зоны поверхностного слоя W: ее вид становится более близким к виду приповерхностного слоя для 2D-слоя W. Наиболее ярко это проявляется в уменьшении интенсивности пика при -3,1 эВ и рост пика при 0,5 эВ. Это связано за счет взаимодействия валентных электронов золота с валентными электронами поверхностного слоя W. Валентная зона золотого слоя сформирована $Au \cdot 5d$ и $Au \cdot 6s$ электронами. Изменение общей плотности состояний системы Au/W незначительна, как и для системы Au/Pt(111) [20], что связано существенно меньшим количеством атомов Au по сравнению с числом атомов в 2D-слое W.

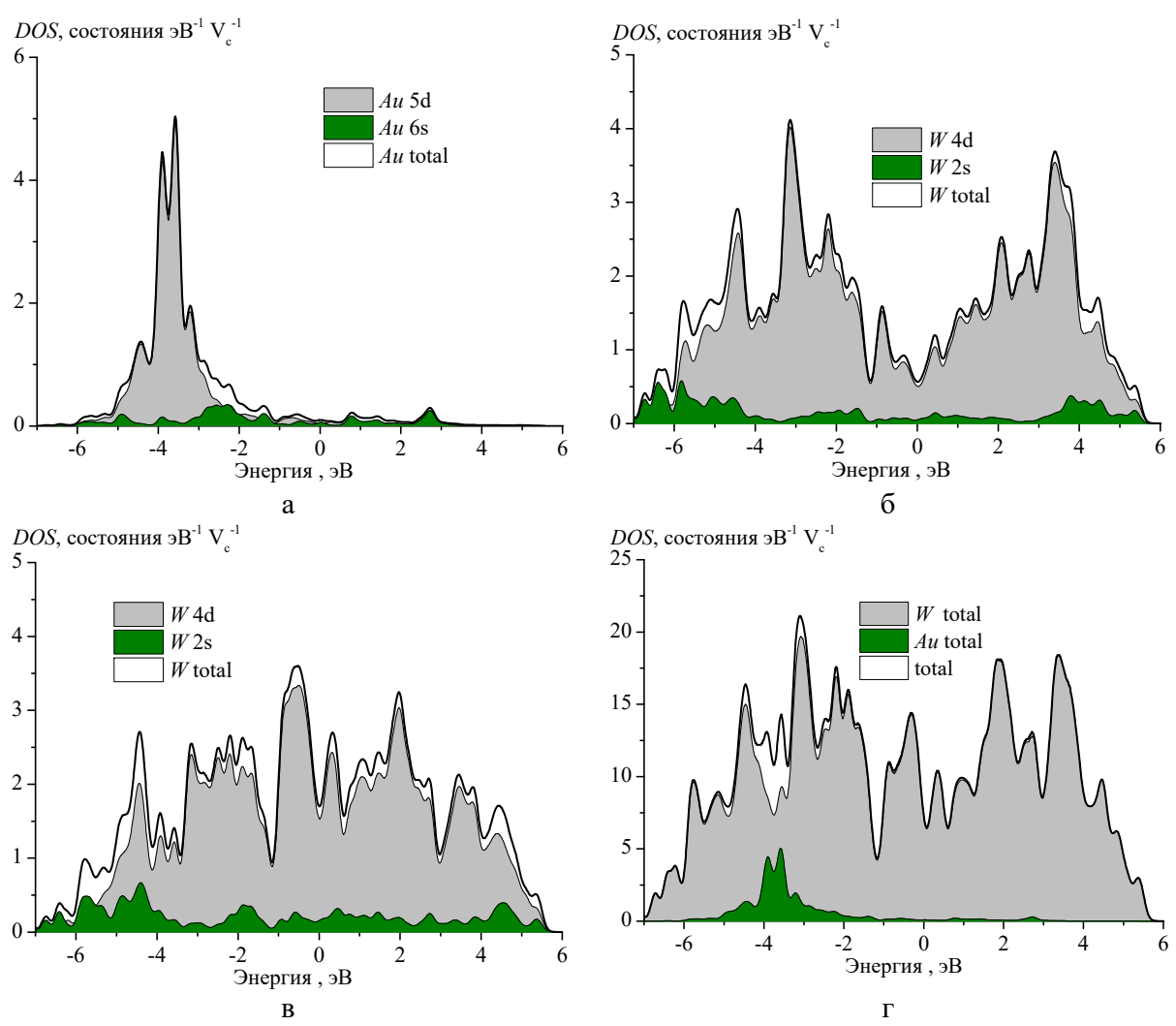


Рис. 3. Рассчитанная полная и парциальная плотность состояний 2D-слоя с адсорбированным слоем Au (а-г). Полная плотность состояний (г), слоя атомов Au (а) поверхностного слоя (б) и приповерхностного слоя (в). V_c — объем элементарной ячейки. Уровень Ферми соответствует 0 эВ.

Отметим, что вид DOS для слоя Au/W(100) качественно совпадает с

результатами [20] для системы Au/Pt(111). Основной максимум при -3,8 эВ для слоя Au расположен как в системе Au/W(100), так и в системе Au/Pt(111). Адсорбция атомов Au приводит к перетеканию электронной плотности от поверхностных атомов W к атому Au. Заряд атома Au равен -0,54 е. Заряд атомов W в ряду, где адсорбирован атом Au уменьшается на 0,22 е, атомов W в соседнем ряду на 0,07 е.

4. Заключение

Проведен расчет адсорбции Au на поверхности 2D-слоя W(100)методом функционала плотности. Показано, что для чистой поверхности наблюдается реконструкция поверхности 2D-слоя W(100), что вызывает уменьшение расстояния между слоями по сравнению нерелаксированным 2D-слоем W(100). Найдено, что предпочтительна адсорбция Au в мостиковой и ямочной позиции, энергия адсорбция незначительно отличается. Энергия адсорбции атомов Аи в мостиковой позиции равна 4,18 эВ. Адсорбция атомов Аи вызывает реконструкцию поверхности W. Валентная зона 2D-слоя W(100) сформирована в основном W 5*d* незначительным W 6s электронами, вкладом электронов. Адсорбция Au приводит К изменению спектра валентной поверхностного слоя, а также перетеканию электронной плотности от поверхностных атомов W к адатому Au.

Библиографический список:

- 1. **Herrera, R.P.** Main avenues in gold coordination chemistry / R.P. Herrera, M.C. Gimeno // Chemical Reviews. 2021. V. 121. I. 14. P. 8311-8363. DOI: 10.1021/acs.chemrev.0c00930.
- 2. **Dahan, K.A.** Recent progress of gold nanostructures and their applications / K.A. Dahan, Y. Li, J. Xu, C. Kan // Physical Chemistry Chemical Physics. 2023. V. 25. I. 28. P. 18545-18576. DOI: 10.1039/D3CP01549A.
- 3. **Ghobashy**, **M.** Gold nanoparticles in microelectronics advancements and biomedical applications / M.M. Ghobashy, S.A. Alkhursani, H.A. Alqahtani et al. // Materials Science and Engineering: B. 2024. V. 301. Art. № 117191. 37 p. DOI: 10.1016/j.mseb.2024.117191.
- 4. **Кузнецов, Ю.А.** Электронно-стимулированная десорбция атомов калия, адсорбированных на поверхности золота / Ю.А. Кузнецов, М.Н. Лапушкин // Физико-химические аспекты изучения кластеров, наноструктур и наноматериалов. 2020. Вып. 12. С. 836-844. DOI: 10.26456/pcascnn/2020.12.836.
- 5. **Dementev, P.A.** Effect of sodium atom adsorption on the electronic structure of a thin gold film / P.A. Dementev, E.V. Dementeva, M.N. Lapushkin, S.N. Timoshnev // Thin Solid Films. 2024. V. 794. Art. № 140291. 9 p. DOI: 10.1016/j.tsf.2024.140291.
- 6. **Bauer, E.** Thermal desorption of metals from tungsten single crystal surfaces / E. Bauer, F. Bonczek, H. Poppa, G. Todd // Surface Science. 1975. V. 53. I. 1. P. 87-109. DOI: 10.1016/0039-6028(75)90118-1.
- 7. **Агеев, В.Н.** Начальные стадии взаимодействия натрия и цезия с золотом / В.Н. Агеев, Е.Ю. Афанасьева // Физика твердого тела. -2006. Т. 48. №. 12. С. 2217-2222.
- 8. **Афанасьева, Е.Ю.** Адсорбция золота на окисленном вольфраме / Е.Ю. Афанасьева // Журнал технической физики. -2013.-T.83.-N2. 6. -C.17-22.
- 9. **Bauer**, **E.** The adsorption and early stages of condensation of Ag and Au on W single-crystal surfaces / E. Bauer, F. Bonczek, H. Poppa, G. Todd // Journal of Applied Physics. 1977. V. 48. I. 9. P. 3773-3787.

Физико-химические аспекты изучения кластеров, наноструктур и наноматериалов. — 2024. — Вып. 16

DOI: 10.1063/1.324245.

- 10. **Wertheim, G.K.** Properties of epitaxial Au on W (100) / G.K. Wertheim, D.N.E. Buchanan, V. Lee // Physical Review B. 1986. V. 34. I. 10. P. 6869-6873. DOI: 10.1103/PhysRevB.34.6869.
- 11. **Zhu, Q.** Adsorption of precious and coinage metals on Rh (111), Ru (0001) and W (110) surfaces / Q. Zhu, S. Wang //Applied Surface Science. 2017. V. 410. P. 282-290. DOI: 10.1016/j.apsusc.2017.03.121.
- 12. **Giannozzi, P.** QUANTUM ESPRESSO: a modular and open-source software project for quantum simulations of materials / P. Giannozzi, S. Baroni, N. Bonini // Journal of Physics: Condensed Matter. 2009. V. 21. № 39. Art. № 395502. 19 p. DOI: 10.1088/0953-8984/21/39/395502.
- 13. **Perdew, J.P.** Generalized gradient approximation made simple / J.P. Perdew, K. Burke, M. Ernzerhof // Physical Review Letters. 1996. V. 77. I. 18. P. 3865-3868. DOI: 10.1103/physrevlett.77.3865. 14. **Troullier, N.** Efficient pseudopotentials for plane-wave calculations / N. Troullier, J.L. Martins // Physical Review B. 1991. V. 43. I. 3. P. 1993-2006. DOI: 10.1103/physrevb.43.1993.
- 15. **Nishihara**, **S.** BURAI 1.3 A GUI of Quantum ESPRESSO / S. Nishihara. Режим доступа: www.url: https://nisihara.wixsite.com/burai. 27.07.2024.
- 16. **Bader, R.F.W.** A quantum theory of molecular structure and its applications / R.F.W. Bader // Chemical Reviews. 1991. V. 91. I. 5. P. 893-928. DOI: 10.1021/cr00005a013.
- 17. **Wang, H.Y.** First-principles study on stability and electronic properties of W (001), W (110) and W (111) surfaces / H.Y. Wang, N. Wang, S. Zhang et al. // Surface and Coatings Technology. 2013. V. 229. P. 55-59. DOI: 10.1016/j.surfcoat.2012.05.096.
- 18. Wimmer, E. All-electron local-density theory of alkali-metal bonding on transition-metal surfaces: Cs on W(001) / E. Wimmer, A.J. Freeman, J.R. Hiskes, A. M. Karo // Physical Review B. 1983. V. 28. I. 6. P. 3074-3091. DOI: 10.1103/PhysRevB.28.3074.
- 19. **Yakovkin, I.N.** DFT and Monte Carlo study of the W (001) surface reconstruction / I.N. Yakovkin, I.I. Yakovkin, N.V. Petrova // The European Physical Journal B. 2017. V. 90. I. 1. P. 1-11. DOI: 10.1140/epjb/e2017-80107-7.
- 20. **Krupski, K.** Structure determination of Au on Pt (111) surface: LEED, STM and DFT study / K. Krupski, M. Moors, P. Jóźwik et al. // Materials. 2015. V. 8. I. 6. P. 2935-2952. DOI: 10.3390/ma8062935.

References

- 1. Herrera R.P., Gimeno M.C. Main avenues in gold coordination chemistry, *Chemical Reviews*, 2021, vol. 121, issue 14, pp. 8311-8363. DOI: 0.1021/acs.chemrev.0c00930.
- 2. Dahan K.A., Li Y., Xu J., Kan C. Recent progress of gold nanostructures and their applications, *Physical Chemistry Chemical Physics*, 2021, vol. 25, issue 28, pp. 18545-1857. DOI: 10.1039/D3CP01549A.
- 3. Ghobashy M.M., Alkhursani S.A., Alqahtani H.A., El-damhougy T.K., Madani M. Gold nanoparticles in microelectronics advancements and biomedical applications, *Materials Science and Engineering: B*, 2024, vol. 301, art. no. 117191, 37 p. DOI: 10.1016/j.mseb.2024.117191.
- 4. Kuznetsov Yu.A., Lapushkin M.N. Elektronno-stimulirovannaya desorbtsiya atomov tseziya, adsorbirovannykh na poverkhnosti zolota [Electron-stimulated desorption of potassium atoms adsorbed on the surface of gold], *Fiziko-khimicheskie aspekty izucheniya klasterov, nanostruktur i nanomaterialov [Physical and chemical aspects of the study of clusters, nanostructures and nanomaterials]*, 2020, issue 12, pp. 836-844. DOI: 10.26456/pcascnn/2020.12.836. (In Russian).
- 5. Dementev P.A., Dementeva E.V., Lapushkin M.N., Timoshnev S.N. Effect of sodium atom adsorption on the electronic structure of a thin gold film, *Thin Solid Films*, 2024, vol. 794, art. no. 140291, 9 p. DOI: 10.1016/j.tsf.2024.140291.
- 6. Bauer E., Bonczek F., Poppa H., Todd G. Thermal desorption of metals from tungsten single crystal surfaces, *Surface Science*, 1975, vol. 53, issue 1, pp. 87-109. DOI: 10.1016/0039-6028(75)90118-1.
- 7. Ageev V.N., Afanas'eva E.Yu. Initial stages of the interaction of sodium and cesium with gold, *Physics of the Solid State*, 2006, vol. 48, issue 12, pp. 2347-2353. DOI: 10.1134/S1063783406120171.
- 8. Afanas'eva E.Yu. Adsorption of gold on oxidized tungsten, *Technical Physics*, 2013, vol. 58, issue 6, pp. 793-798. DOI: 10.1134/S1063784213060029.
- 9. Bauer E., Poppa H., Todd G., Davis P.R. The adsorption and early stages of condensation of Ag and Au on W single-crystal surfaces, *Journal Applied Physics*, 1977, vol. 48, issue 9, pp. 3773-3787. DOI: 10.1063/1.324245.
- 10. Wertheim G.K., Buchanan D.N.E., Lee V. Properties of epitaxial Au on W(100), *Physical Review B*, 1986, vol. 34, issue 10, pp. 6869-6873. DOI: 10.1103/PhysRevB.34.6869.
- 11. Zhu Q., Wang S. Adsorption of precious and coinage metals on Rh (111), Ru (0001) and W (110) surfaces, *Applied Surface Science*, 2017, vol. 410, pp. 282-290. DOI: 10.1016/j.apsusc.2017.03.121.
- 12. Giannozz, P., Baroni S., Bonini N. QUANTUM ESPRESSO: a modular and open-source software project for

Физико-химические аспекты изучения кластеров, наноструктур и наноматериалов. — 2024. — Вып. 16

quantum simulations of materials, *Journal of Physics: Condensed Matter*, 2009, vol. 21, no. 39, art. no. 395502, 19 p. DOI: 10.1088/0953-8984/21/39/395502.

- 13. Perdew J.P., Burke K., Ernzerhof M. Generalized gradient approximation made simple, *Physical Review Letters*, 1996, vol. 77, issue 18, pp. 3865-3868. DOI: 10.1103/physrevlett.77.3865.
- 14. Troullier N., Martins J.L. Efficient pseudopotentials for plane-wave calculations, *Physical Review B*, 1991, vol. 43, issue 3, pp. 1993-2006. DOI: 10.1103/physrevb.43.1993.
- 15. Nishihara S. BURAI 1.3 A GUI of Quantum ESPRESSO. Available at: https://nisihara.wixsite.com/burai (accessed 27.07.2024).
- 16. Bader R.F. A quantum theory of molecular structure and its applications, *Chemical Reviews*, 1991, vol. 91, issue 5, pp. 893-928. DOI: 10.1021/cr00005a013.
- 17. Wang H.Y. Wang N. Zhang S. et al. First-principles study on stability and electronic properties of W(001), W(110) and W(111) surfaces, *Surface and Coatings Technology*, 2013, vol. 229, pp. 55-59. DOI: 10.1016/j.surfcoat.2012.05.09.
- 18. Wimmer E., Freeman A.J., Hiskes J.R., Karo A.M. All-electron local-density theory of alkali-metal bonding on transition-metal surfaces: Cs on W(001), *Physical Review B*, 1983, vol. 28, issue 6, pp. 3074-3091. DOI:10.1103/PhysRevB.28.3074.
- 19. Yakovkin I.N., Yakovkin I.I., Petrova, N.V. DFT and Monte Carlo study of the W (001) surface reconstruction, *The European Physical Journal B*, 2017, vol. 90, issue 1, pp. 1-11. DOI: 10.1140/epjb/e2017-80107-7.
- 20. Krupski K., Moors M., Jóźwik P. et al. Structure determination of Au on Pt (111) surface: LEED, STM and DFT study, *Materials*, 2015, vol. 8, issue 6, pp. 2935-2952. DOI: 10.3390/ma8062935.

Original paper

Au adsorption on W(100): calculation

Yu.A. Kuznetsov, M.N. Lapushkin *Ioffe Institute, St. Petersburg, Russia*

DOI: 10.26456/pcascnn/2024.16.501

Abstract: The adsorption of gold atoms on the surface of the (100) tungsten face was calculated using the density functional method. A 2D layer of W atoms was used as a tungsten substrate. The 2D layer of W was modeled by a W(100) $2\times2\times2$ supercell. The calculation was carried out for three sites of adsorption of the Au atom on the W(100) surface: in the hollow position, in the bridge position between the surface W atoms and on top the surface W atom. There was one Au atom per 8 surface W atoms. Adsorption of the Au atom in the bridge position is most preferable. The adsorption energy is 4,18 eV. Adsorption of Au atoms leads to the following reconstruction of the W surface: the shift of W atoms in the surface plane does not exceed 0,18 Å, and the shift of the upper layer of W atoms is 0,022 Å towards the volume of W. The valence band of the 2D W(100) layer is formed mainly W 5d electrons, with a minor contribution from W 6s electrons. Adsorption of gold leads to a change in the spectrum of the valence band of the tungsten surface layer.

Keywords: electronic structure, adsorption, interface, gold, tungsten.

Кузнецов Юрий Александрович — научный сотрудник ФГБУН «Физико-технический институт им. А.Ф. Иоффе Российской академии наук»

Лапушкин Михаил Николаевич — к.ф.-м.н., доцент по специальности, старший научный сотрудник Φ ГБУН « Φ изико-технический институт им. $A.\Phi$. Иоффе Российской академии наук»

Yurij A. Kuznetsov – Researcher, Ioffe Institute Mikhail N. Lapushkin – Ph. D., Docent, Senior Researcher, Ioffe Institute

Поступила в редакцию/received: 07.08.2024; после рецензирования/revised: 13.09.2024; принята/accepted: 18.09.2024.